

بهینه‌سازی عملکرد واحد آب شیرین کن جزیره قشم با استفاده از گرمای اتلافی به کمک بویلر بازیاب

دانشجوی دکتری، دانشگاه شهید بهشتی، دانشکده مهندسی مکانیک و انرژی، تهران، ایران

دانشیار، دانشگاه شهید بهشتی، دانشکده مهندسی مکانیک و انرژی، تهران، ایران

استادیار، دانشگاه شهید بهشتی، دانشکده مهندسی مکانیک و انرژی، تهران، ایران

سمیه صدری

محمد عامری*

رامین حقیقی خوشخو

چکیده

در این مقاله به مدل‌سازی سیستم آب شیرین کن MED-TVC پرداخته می‌شود. در سیستم مورد بررسی از یک بویلر بازیاب جهت افزایش راندمان چرخه حرارتی موجود استفاده شده است. استفاده از گرمای اتلافی منجر به کاهش سوخت مصرفی برای تولید آب شیرین و کاهش قیمت آن خواهد شد. معادلات موازنه جرم، انرژی و انتقال حرارت مربوط به اجزای مختلف توسط کد نرم‌افزاری تهیه شده در MATLAB حل شده و نتایج بدست آمده در یک فرآیند بهینه‌سازی جهت افزایش ضریب عملکرد سیستم و کاهش سطح انتقال حرارت موردن تحلیل قرار گرفته است. برای بهینه‌سازی از الگوریتم ژنتیک استفاده شده و نتایج با دقت خوبی حاصل گردیده است. نتایج بدست آمده کاهش در سطح انتقال حرارت کلی (زیرواحدها و چگالنده) را در مقابل افزایش ضریب عملکرد سیستم نشان می‌دهد.

کلمات کلیدی: شیرین‌سازی آب، MED-TVC، ضریب عملکرد، سطح انتقال حرارت.

Optimization of Qeshm Desalination Unit to Use the Waste Heat with Recovery Boiler

S. Sadri

Mechanical & Energy Engineering Department, Student, Shahid Beheshti University, Tehran, Iran

M. Ameri

Mechanical & Energy Engineering Department, Student, Shahid Beheshti University, Tehran, Iran

R. H. Khoshkho

Mechanical & Energy Engineering Department, Student, Shahid Beheshti University, Tehran, Iran

Abstract

This article deals with MED-TVC desalination system modeling. Heat of exhaust gas from turbine with a recovery boiler was used in desalination plant to increase efficiency of existing thermal cycle. Use of waste heat leads to reduced fuel consumption and lower prices to produce fresh water. Mass balance equations, energy and heat transfer of various components by MATLAB code was solved and an optimization process to increase performance and reduce the heat transfer area was performed. To optimize the modeling, genetic algorithm is used, and the results have been obtained with high accuracy. The results show the reduction of heat transfer area (effects and condenser) against increasing system performance.

Keywords: Desalination, MED-TVC, optimization, Gain Output Ratio, Heat Transfer Area..

شیرین و سرمایش را مورد مطالعه قرار دادند. کمالی و همکاران [۳-۶] طی سه مقاله مدلی برای شبیه‌سازی ترمودینامیکی آب شیرین کن MED-TVC توسعه داده و سپس آن را بهینه کرده‌اند. عامری و همکاران [۷] نیز یک مدل ترمودینامیکی برای یک آب شیرین کن MED با تولید ۲۰۰۰ متر مکعب در روز ارائه کرده‌اند و تأثیر تعداد مراحل آب شیرین کن را بر شاخه‌های عملکردی تشریح کرده‌اند. صیادی و همکاران [۸-۹] نیز مدلی از آب شیرین کن MED-TVC را توسعه داده و با استفاده از تحلیل ترمواکنومیک آن را بهینه کردن. شکوری و همکاران [۱۰] نیز مدلی برای یک آب شیرین کن MED-TVC جهت اتصال به واحد توربین گازی جزیره لاوان توسعه دادند و سپس با یک تحلیل ترمواکنومیک مدل توسعه یافته را بهینه‌سازی نمودند. موگینستین و همکاران [۱۱] عملکرد دو آب شیرین کن اسمز معکوس و MED-TVC را مورد ارزیابی قرار دادند. در این مقاله با استفاده از روابط ترمودینامیکی و انتقال گرما در زیر واحد های مختلف با در نظر گرفتن افتخاهای ترمودینامیکی، پارامترهای مجھول در هر زیر واحد محاسبه می‌شود. مقایسه نتایج

۱- مقدمه

فرآیندهای نمکزدایی صنعتی شامل جداسازی آب عاری از نمک از آب دریا یا آب شور می‌باشد. یک دسته‌بندی ساده از فرآیندهای شیرین‌سازی آب می‌تواند بر اساس فرآیند جداسازی صورت پذیرد. فرآیندهای حرارتی و غشایی دو دسته عمده روش‌های شیرین‌سازی آب هستند. روش تبخیر ناگهانی چندمرحله‌ای^(۱) (MSF)، تراکم بخار^(۲) (VC) و تقطیر چندمرحله‌ای (MED) از جمله روش‌های پرکاربرد بخش حرارتی در شیرین‌سازی آب می‌باشند.

زادو و همکاران [۱۱] در سال ۲۰۱۱ میلادی از یک آب شیرین کن MED برای شیرین‌سازی پس‌آب شور یک پالایشگاه در چین استفاده کردند. مدل ترمودینامیکی آن‌ها بر اساس توازن جرم و انرژی در مراحل مختلف آب شیرین کن توسعه یافته بود. مازاور و همکاران [۲] نیز یک سیستم تولید همزمان برای تولید الکتریستیک، گرما، آب

¹ Multi Stage Flash

² Vapor compression

احتمالی را که به همراه دارند، از دست بدھند. دمای بخار عبوری از قطره‌گیر به دلیل افت اصطکاکی کمی کاهش می‌یابد. بخار عبوری از قطره‌گیر به زیر واحد دوم عبور داده می‌شود. این انتقال، افت فشار و در نتیجه کاهش دمای اشباع را به همراه خواهد داشت. در سیستم صلیبی همسو از زیر واحد ۲ تا n بخار بر روی سطوح حرارتی و یا در محفظه‌های تبخیر ناگهانی تشکیل می‌شود. دمای بخار تشکیل شده در هر زیر واحد به دلیل افزایش نقطه جوش و اختلاف غیرتعادلی کمتر از دمای آب سور می‌یابشد. بخش کوچکی از بخار در محفظه‌های تبخیر لحظه‌ای تشکیل می‌شود. بخار تشکیل شده در زیر واحد n در زیر واحد $n+1$ متراکم می‌شود و همه بخارهای خروجی از زیر واحد آخر در کنداسور متراکم می‌گردد. روابط ریاضی سیستم‌های تبخیر چندمرحله‌ای جریان صلیبی همسو را بر اساس معادلات جرم و انرژی و با استفاده از روابط اصلاحی ضرایب انتقال گرما، افت‌های ترمودینامیکی (افت دمایانه ناشی از افت فشار و پرسه تراکم)، افت فشار و خواص فیزیکی مدل می‌کنند.

نتایج بر اساس فاکتورهای ضریب عملکرد گرمایی، سطح ویژه انتقال گرما، دبی جریان آب خنک کن و نسبت تبدیل بیان می‌گردد. فرضیات زیر برای مدل‌سازی ریاضی در نظر گرفته شده است:

- آب تقطیرشده فاقد نمک است.
- سیستم در شرایط پایا کار می‌کند.
- ظرفیت گرمایی ویژه آب تغذیه با آب سور و آب تقطیرشده با استفاده از روابط موجود محاسبه می‌شود.
- آهنگ جریان ورودی به زیر واحدها، یکسان است.
- افزایش نقطه جوش برای همه زیر واحدها یکسان نیست.
- افت‌های ترمودینامیکی در نظر گرفته می‌شود.
- اختلاف دما در زیر واحدها یکسان در نظر گرفته شده و از رابطه زیر به دست می‌آید:

$$\Delta T = \frac{T_1 - T_n}{n - 1} \quad (1)$$

دمای بخار متراکم شده (T_s) با استفاده از رابطه زیر مشخص می‌گردد:

$$T_s = T_1 + \Delta T \quad (2)$$

دمای بخار در آخرین زیر واحد از رابطه زیر محاسبه می‌شود:

$$T_v = T_n - BPE \quad (3)$$

افزایش نقطه جوش (BPE) به میزان افزایش دمای جوش در یک فشار مشخص گفته می‌شود که در اثر وجود نمکهای حل شده در آب ایجاد می‌شود. رابطه زیر برای محاسبه BPE به کار می‌رود [۱۲]:

$$BPE = X_b[B + CX_b] \times 10^{-3} \quad (4)$$

$$B = [6.71 + (6.34 \times 10^{-2} \times T_n)] \times 10^{-3} \quad (1-4)$$

$$C = [22.238 + (9.59 \times 10^{-3} \times T_n)] \quad (2-4)$$

$$+ [6.71 + (6.34 \times 10^{-2} \times T_n)] \times 10^{-8}$$

$$+ (9.42 \times 10^{-5} \times T_n^2)] \times 10^{-8}$$

ظرفیت گرمای ویژه آب از رابطه زیر قابل محاسبه می‌باشد:

$$c_p = [a + b \times T_1 + c \times T_1^2 + d \times T_1^3] \times 10^{-3} \quad (5)$$

$$a = 4206.8 - (6.6197 \times S) \\ + (1.2288 \times 10^{-2} \times S^2) \quad (5-1)$$

حاصل و نتایج موجود برای سیستم آب شیرین کن قسم بیانگر دقت مدل‌سازی انجام شده می‌باشد. از نوآوری‌های این کار علاوه بر لحاظ کردن افتخاهای ترمودینامیکی در شبیه‌سازی، می‌توان به استفاده از الگوریتم ژنتیک برای بهینه‌سازی سیستم موجود استفاده کرد. تابعی این بهینه‌سازی دو هدفه‌ای برای افزایش کارایی سیستم با در نظر گرفتن قیدهای مشخص انجام شده است. برای این کار از نرم‌افزار MATLAB استفاده شده است.

۲- معادلات حاکم و روش انجام

شماتیک فرآیند تبخیر چندمرحله‌ای جریان صلیبی همسو^۱ در شکل ۱ نشان داده شده است. زیر واحدها از ۱ تا n از سمت چپ به راست نام‌گذاری می‌شوند. هر زیر واحد شامل یک سطح انتقال حرارت، فضای بخار، رطوبت‌گیر و دیگر تجهیزات جانی است. در سیستم جریان موازی، بخار از سمت چپ به راست در راستای افت فشار جریان می‌یابد، در حالی که آب تغذیه در راستای عمود وارد هر زیر واحد می‌شود. در سیستم جریان صلیبی همسو، جریان آب سور خروجی از هر زیر واحد وارد زیر واحد بعدی می‌شود که دچار تبخیر لحظه‌ای شده و با آب تغذیه ورودی به هر زیر واحد ترکیب می‌گردد. هر سیستم شامل تعدادی اوپراتور، مجموعه‌ای از محفظه‌های تبخیر لحظه‌ای، چگالنده تحتانی و یک سیستم تخلیه است. سیستم‌های جریان موازی و جریان صلیبی همسو شامل $n-1$ محفظه تبخیر لحظه‌ای برای تولید آب مقطر هستند. در سیستم جریان صلیبی همسو، تبخیر لحظه‌ای آب سور در زیر واحدهای ۲ تا n انجام می‌شود. هر دو ساختار از مبادله‌کن‌های لوله افقی با چگالش سقوط قطره‌ای^۲ استفاده می‌کنند که به مقاومت در برابر خودگی معروف هستند. دلیل این امر، آهنگ بالای رطوبت و توزیع مؤثر آب بر روی سطوح انتقال گرما می‌باشد. آب دریا به کنداسور تحتانی وارد می‌شود و گرمای نهان بخار متراکم شده زیر واحد چگالنده را جذب می‌کند. در نتیجه دمای آب دریای ورودی تا دمای آب تغذیه افزایش می‌یابد. بخشی از آب دریای گرم شده به دریا بر می‌گردد که آب خنک کن نامیده می‌شود. وظیفه آب خنک کن دفع گرمای اضافی داده شده به زیر واحد اول می‌باشد. جریان آب تغذیه ورودی از لحاظ شیمیایی تصفیه شده، هوازدایی می‌گردد و در زیر واحدهای مختلف اسپری می‌شود.

آب دریا به صورت لایه نازک بر روی ردیفهای لوله که به صورت افقی در کنار هم قرار گرفته‌اند، پاشیده می‌شود. در هر زیر واحد دمای آب سور مطابق با فشار فضای بخار افزایش می‌یابد، پیش از آن که بخار آبی تشکیل شود. در زیر واحد اول، گرمای موردنیاز برای پیش گرم کردن و تبخیر از طریق تراکم مقدار کنترل شده‌ای بخار اشباع در داخل لوله‌ها تأمین می‌شود.

این بخار از یک بویلر خارجی دریافت می‌شود. مایع متراکم شده با کیفیت بالا از زیر واحد اول به بویلر باز می‌گردد. دمای اشباع بخار تشکیل شده در هر زیر واحد به علت افزایش نقطه جوش از دمای جوش آب سور داخل زیر واحد کمتر است. بخارهای تشکیل شده در هر زیر واحد از یک قطره‌گیر عبور داده می‌شوند تا قطرات آب

¹ Cross Parallel flow

² Falling Film

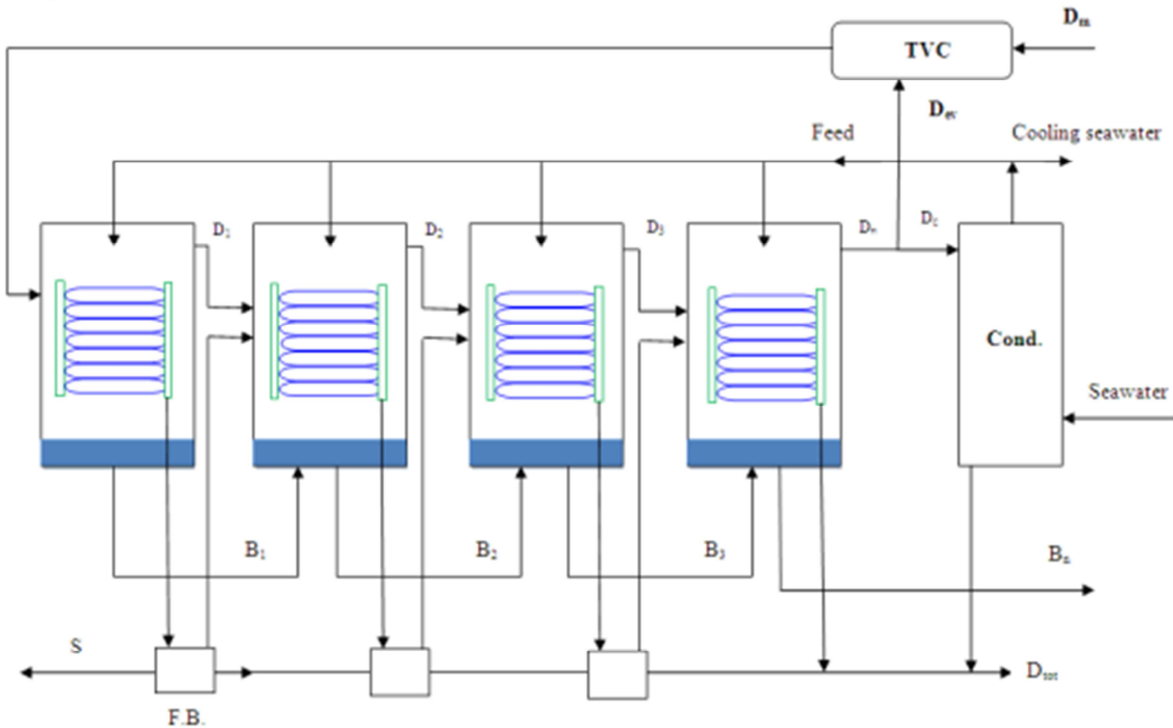
³ boiling point elevation

$$d = (6.8777 \times 10^{-7}) - (1.517 \times 10^{-6} \times S) - (404268 \times 10^{-9} \times S^2) \quad (Δ-4)$$

$$S = \frac{X_F}{1000}$$

$$b = -1.1262 + (5.4178 \times 10^{-2} \times S) - (2.2719 \times 10^{-4} \times S^2) \quad (Δ-2)$$

$$c = (1.2026 \times 10^{-2}) - (5.3566 \times 10^{-4} \times S) + (1.8906 \times 10^{-6} \times S^2) \quad (Δ-3)$$



شکل ۱- طرحواره فرآیند برای سیستم تبخیر چندمرحله‌ای جریان صلیبی همسو

دماه آب جوش در هر زیر واحد به اندازه $ΔT$ از دماه زیر واحد
قبلی کمتر می‌باشد که از رابطه زیر محاسبه می‌شود:

$$T_{i+1} = T_i - ΔT, \quad i = 1, 2, \dots, n \quad (12)$$

دماه بخار در هر زیر واحد از رابطه زیر به دست می‌آید:

$$T_{vi} = T_i - BPE \quad (13)$$

دی جریان ورودی به میزان مساوی میان زیر واحدها تقسیم می‌شود:

$$F_i = \frac{F}{n}, \quad i = 1, 2, \dots, n \quad (14)$$

دماه تراکم بخار، T_{ci} ، به میزان افزایش نقطه جوش کمتر از دماه جوش می‌باشد که ناشی از افت فشار در قطره‌گیر، $ΔT_p$ ، افت فشار اصطکاکی در خطوط ارتاطی، $ΔT_t$ ، و پروسه تراکم، $ΔT_c$ ، مرتبط می‌باشد [12]:

$$T_{ci} = T_i - BPE - ΔT_p - ΔT_t - ΔT_c \quad (15)$$

گرمای نهان بخار از طریق روابط زیر محاسبه می‌شود [12]:

$$\lambda_s = 2501.897149 - 2.407064037 \times T_s + 1.192217 \times 10^{-3} \times T_s^2 - 1.5863 \times 10^{-5} \times T_s^3 \quad (16)$$

$$\lambda_i = 2501.897149 - 2.407064037 \times T_i + 1.192217 \times 10^{-3} \times T_i^2 - 1.5863 \times 10^{-5} \times T_i^3 \quad (17)$$

که T_1 دما بر حسب ${}^{\circ}\text{C}$ و S شوری آب بر حسب kg/m^3 باشد.
فشار بخارهای متراکم شده (P_s) و بخارهای مکشی (P_{ev}) از روابط
اصلاحیه ارائه شده توسط الدسوکی و همکاران [12] محاسبه می‌شود:

$$P_s = 1000 \times \exp\left(\frac{-3892.7}{T_s + 273.15 - 42.6776} + 9.5\right) \quad (6)$$

$$P_{ev} = 1000 \times \exp\left(\frac{-3892.7}{T_{vn} + 273.15 - 42.6776} + 9.5\right) \quad (7)$$

محاسبه نسبت بخار محرك به بخار مکشی (D_m/P_{ev}) در اجکتور
بخش مهمی از مدل‌سازی سیستم MED-TVC محسوب می‌شود.
مقدار بهینه این پارامتر عملکرد سیستم‌ها را از طریق کاهش مقدار بخار
محرك، بهبود می‌بخشد. این نسبت تابعی از فشار بخارهای متراکم (P_s)
فشار بخار محرك (P_m) و فشار بخار مکشی (P_{ev}) می‌باشد:

$$ER = \frac{P_m}{P_{ev}} \quad (8)$$

$$CR = \frac{P_s}{P_{ev}} \quad (9)$$

نسبت مکشی با رابطه زیر به دست می‌آید [13]:

$$R_a = 0.235 \frac{P_s^{1.19}}{P_{ev}^{1.04}} ER^{0.015} \quad (10)$$

مقدار بخار مکشی (D_{ev}) از طریق رابطه زیر به دست می‌آید:
 $D_{ev} = \frac{D_m}{R_a}$ (11)

چگالنده از دو رابطه زیر قابل محاسبه می باشد:

$$(LMTD)_c = \frac{(T_f - T_{cw})}{\ln \left[\frac{T_{v,n} - T_{cw}}{T_{e,n} - T_f} \right]} \quad (34)$$

$$U_c = 1.7194 + 3.2063 \times 10^{-2} T_{v,n} - 1.5971 \times 10^{-5} (T_{v,n})^2 + 1.9918 \times 10^{-7} (T_{v,n})^3 \quad (35)$$

سطح انتقال گرمای چگالنده به صورت زیر محاسبه می شود:

$$A_c = \frac{D_c \lambda_n}{U_c (LMTD)_c} \quad (36)$$

دبی آب خنک کن (M_{cw}) با اعمال قانون بقای انرژی بر روی چگالنده به صورت زیر در می آید:

$$M_{cw} = \frac{D_c \lambda_n}{c_p (T_f - T_{cw})} \quad (37)$$

سطح انتقال گرمای مخصوص (A_d) برابر با مجموع سطوح انتقال گرمای زیر واحدها و چگالنده تقسیم بر محصول کلی است:

$$A_d = \frac{A_e + A_c}{D_t} \quad (38)$$

میزان تولید آب شیرین و ضریب عملکرد سیستم به صورت زیر محاسبه می شود:

$$M_d = \sum_{i=1}^n D_i \quad (39)$$

$$GOR = \frac{M_d}{M_m} \quad (40)$$

یکی از مشخصه های مهم واحدهای شیرین سازی حرارتی آب مصرف گرمای مخصوص است. این پارامتر به انرژی گرمایی مصرف شده توسط سیستم برای تولید ۱ کیلوگرم آب شیرین اطلاق می گردد و با رابطه زیر محاسبه می شود:

$$Q = \frac{D_m \lambda_m}{D_t} \quad (41)$$

۳- نتایج و بحث بر روی نتایج

طرحواره سایت قسم که در این شبیه سازی مورد تحلیل قرار گرفته است، در شکل ۲ نشان داده شده است.

ظرفیت تولید آب شیرین سیستم مورد بررسی حدود ۱ MIGD (معادل ۵۲/۶۲ کیلوگرم در ثانیه) درنظر گرفته شده است. میزان شوری آب تغذیه ورودی ppm، دمای بیشینه آب شور ۶۴/۲ درجه سلسیوس و سایر پارامترهای موردنیاز در جدول ۱ گردآوری شده است [۱۴].

جدول ۱- مقادیر ورودی

مقادیر	متغیرها
۶/۴۴	دبی بخار محرك، D_m (kg/s)
۱۲۹۰	فشار بخار محرك، P_m (kPa)
۴۴	دمای آب تغذیه ورودی از دریا، T_F (°C)
۳۵	دمای آب خنک کن بازگشتی به دریا، T_{cw} (°C)
۴۲۰۰۰	شوری آب تغذیه ورودی، X_F (ppm)
۶۴/۲	دمای بیشینه آب شور، T_1 (°C)
۴۸/۹	دمای کمینه آب شور، T_n (°C)

^۲ Million Imperial Gallons per Day

$$\lambda_m = 2501.897149 - 2.407064037 \times T_m + 1.192217 \times 10^{-3} \times T_m^2 - 1.5863 \times 10^{-5} \times T_m^3 \quad (18)$$

واحد گرمای نهان kJ/kg است. موازنه جرم در زیر واحدها از روابط زیر به دست می آید:

$$B_1 = F_1 - D_1 \quad (19)$$

$$B_i = F_i + B_{i-1} - D_i \quad i = 2, \dots, n \quad (20)$$

موازنه غلظت در زیر واحدها از روابط زیر به دست می آید:

$$X_1 = \frac{F_1}{B_1} \times X_f \quad (21)$$

$$X_i = \frac{F_i}{B_i} \times X_f + \frac{B_{i-1}}{B_i} \times X_{i-1} \quad i = 2, 3, \dots, n \quad (22)$$

موازنه انرژی در زیر واحدها از روابط زیر به دست می آید:

$$D_1 = \frac{1}{\lambda_1} [M_s \lambda_s - F_1 \times c_p (T_1 - T_f)] \quad (23)$$

$$D_i = \frac{1}{\lambda_i} [(D_{i-1} + D_{i-1}) \lambda_{i-1} - F_i \times c_p (T_i - T_f) - B_{i-1} \times c_p (T_{i-1} - T_i)] \quad (24)$$

و روابط کمکی برای تعیین مقادیر مجهول به صورت زیر محاسبه می گردد.

$$\dot{D}_i = D_{i-1} c_p \frac{T_{v,i-1} - \dot{T}_i}{\lambda_i} \quad (25)$$

$$T_{v,i-1} = T_i - BPE \quad (26)$$

$$\dot{T}_i = T_{v,i-1} - NEA_i \quad (27)$$

$$NEA_i = 33 \frac{(T_{i-1} - T_i)^{0.55}}{T_{v,i}} \quad (28)$$

بخارهای تولید شده در زیر واحد آخر به دو قسمت تقسیم می شود، یک قسمت مستقیماً وارد چگالنده می شود (D_e) و قسمت دیگر توسط ترمومپرسور بخار مکیده می شود (D_{ev}). مقدار بخاری که به چگالنده می رود به صورت زیر محاسبه می شود:

$$D_c = D_n - D_{ev} \quad (29)$$

ضریب انتقال گرمای کلی (U_i) از رابطه زیر تعیین می گردد:

$$1939.4 + 1.40562 T_i - 0.0207525 T_i^2 + 0.0023186 T_i^3 \quad (30)$$

$$U_i = \frac{(D_s + D_{ev}) \lambda_s}{U_1 (T_s - T_1)} \quad (31)$$

سطح تبادل گرما در اولین زیر واحد از رابطه زیر به دست می آید:

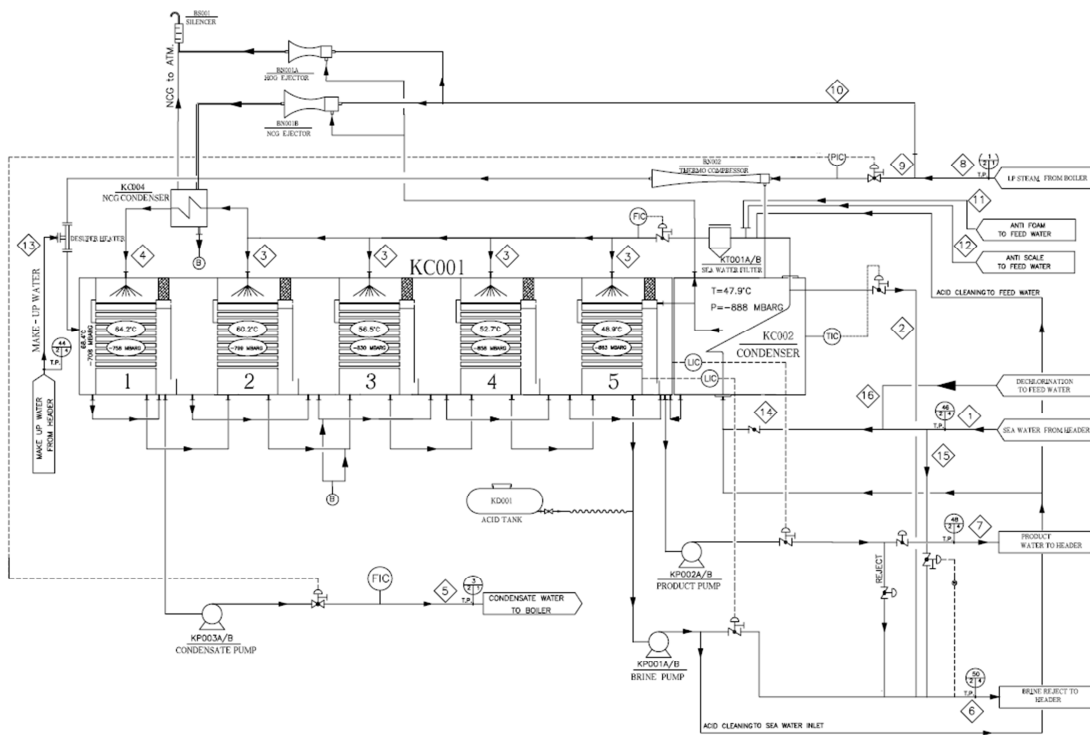
سطح انتقال گرمای کلی زیر واحدها از رابطه زیر قابل محاسبه می باشد:

$$A_e = A_1 + A_2 + \dots + A_n = \sum_{i=1}^n A_i \quad (33)$$

اختلاف دمای میانگین لگاریتمی ^۱ و ضریب انتقال گرمای کلی

$$A_i = \frac{D_i \lambda_i}{U_i (T_{e,i} - T_i)} \quad i = 2, 3, \dots, n \quad (32)$$

^۱ logarithmic mean temperature difference



شکل ۲ - طرحواره سیکل قشم

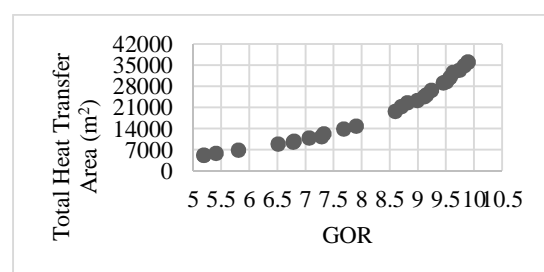
نشان داده شده است. برای نرمالایز کردن دسته نتایج حاصل می‌توان از رابطه (۴۲) استفاده کرد:

$$N_x = \frac{x - x_{min}}{x_{max} - x_{min}} \quad (42)$$

جدول ۲- نتایج حاصل از شبیه‌سازی سایت قشم

	پارامترها	مقادیر واقعی	خطا
	مدل	مقادیر	خطا
اختلاف دما، ΔT , $^{\circ}\text{C}$	با میانگین	$\Delta T_{1-2} = 4$ $\Delta T_{2-3} = 3.7$ $\cdot = \Delta T_{3-5} = 3.8$	۳,۸۲۵
-	-	۱/۱	Ra
-	-	۱۰.۹/۲	ER
-	-	۲.۵	CR
آب شیرین تولیدی، Dt (kg/s)	- ۳,۸۲	۵۲,۴۱۶	۵۰,۴
- ۵,۲۲	۸,۲۶	۷,۸۳	GO R
-	-	۲۴۷	گرمای ویژه مصرفی، Q kJ/kg
-	-	۲۹۷/۹	سطح انتقال گرمای ویژه، m ² /kg/s. Ad
دبی کل آب دریایی ورودی (kg/s). Mcw	۳,۸۲	۲۵۸,۳۳	۲۶۸,۲۱
دبی جرمی آب خنک کن (kg/s). چگالنده.	- ۲,۳۵	۸۵,۴۱۶	۸۳,۴۱
دبی جرمی آب تغذیه کل، (kg/s)	۶,۸۷	۱۷۲,۹۱۴	۱۸۴,۸

نتایج حاصل از شبیه‌سازی در جدول ۲ گردآوری شده است. همان‌گونه که از نتایج برمی‌آید می‌توان با دقت مناسبی سایت شیرین‌سازی آب قشم را با مدل تهیه شده، شبیه‌سازی نمود. در ادامه برای افزایش کارایی سیستم بهینه‌سازی دو هدفهای به منظور بیشینه‌سازی ضریب عملکرد و کاهش سطح حرارتی مورد نیاز، انجام گرفته است. در این بهینه‌سازی ضریب عملکرد و سطح کلی انتقال گرمای به عنوان دو تابع هدف در نظر گرفته شده است و دمای بیشینه زیر واحد، دمای کمینه زیر واحد، دمای بخار ورودی به زیر واحد اول، فشار بخار محرك و دبی بخار محرك به عنوان متغیرهای تصمیم در نظر گرفته شده است. در این فرآیند، مجموعه‌ای از نقاط حاصل می‌شود که هریک گویای یک وضعیت بهینه برای سیستم موردنظر می‌باشدند. مجموعه این نقاط به صورت نموداری نشان داده می‌شود که جبهه Pareto نامیده می‌شود. نتایج حاصل از بهینه‌سازی به صورت جبهه Pareto در شکل ۳ نشان داده شده است.



شکل ۳- نقاط بهینه در جبهه Pareto

از آنجایی که دو تابع هدف انتخاب شده، دیمانسیون‌های متفاوتی دارند، نتایج نرمالایز شده و جبهه Pareto نرمالایز شده در شکل ۴

در کاهش سطح حرارتی و افزایش ضریب عملکرد را نشان می‌دهد. با کاهش دمای کمینه و دمای بیشینه آب شور، کاهش دبی و افزایش فشار بخار محرك می‌توان بهگونه‌ای سیستم را بازطراحی نمود که بتواند بیشترین راندمان با کمترین سطح حرارتی را ارائه دهد.

۵- نماد

سطح انتقال گرمای (m^2)	A
دبی آب شور(s)	B
افزایش نقطه جوش ($^{\circ}C$)	BPE
بخار در حال تقطیر	c
نسبت تراکم	CR
آب خنک کن	cw
تقطیر	d
دبی آب تقطیر شده (Kg/s)	D
بخار مکش شده	ev
نسبت انبساط	ER
دبی آب تغذیه (Kg/s)	F
ضریب عملکرد	GOR
گرمای نهان (kJ/kg)	λ
اختلاف دمای لگاریتمی	LMTD
دبی (Kg/s)	M
بخار محرك	m
تعداد مرحله ها	n
اختلاف غیرتعادلی	NEA
(Pa)	P
ذره در میلیون	ppm
صرف گرمای ویژه (kJ/kg)	Q
نسبت مکش	Ra
بخار	s
کل	t
(دما)	T
ضریب انتقال گرمای	U
بخار	v
شوری (ppm(g/kg))	X

۶- مراجع

- [1] Zhao D., Xue J., Li S., Sun H., Zhang Q., Theoretical Analysis of Thermal and Economical Aspects of Multi Effect Distillation Desalination dealing with High Salinity Wastewater, *Desalination*, Vol. 273, pp. 292-298, 2011.
- [2] Maraver D., Uche J., Royo J., Assessment of High Temperature Organic Rankine Cycle Engine for polygeneration with MED Desalination: A preliminary approach, *Energy Conversion and Management*, Vol. 53, pp. 108-117, 2012.
- [3] Kamali R., Abbassi A., Sadough Vanini S., Saffar Avval M., Thermodynamic Design and Parametric Study of MED-TVC, *Desalination*, Vol. 222, pp. 596-604, 2008.
- [4] Kamali R., Mohebinia S., Experience of Design and Optimization of Multi Effect Desalination Systems in Iran, *Desalination*, Vol. 222, pp. 639-645, 2008.
- [5] Kamali R., Abbassi A., Sadough Vanini S., A Simulation Model and Parametric Study of MED-TVC Process, *Desalination*, Vol. 235, pp. 340-351, 2009.
- [6] Kouhikamali R., Sanaei M., Mehdizadeh M., Process Investigation of Different Locations of Thermo Compressor

در شکل ۴، نقطه به مختصات (۰,۰) نقطه ایدهآل با کمترین سطح حرارتی و بالاترین ضریب عملکرد می‌باشد. از آنجایی که این نقطه بر روی جبهه Pareto قرار ندارد، لذا نقطه بهینه مورد نظر نمی‌باشد. بدین منظور و جهت یافتن نقطه بهینه دوهدفه، نقطه‌ای از جمهه Pareto انتخاب می‌گردد که کمترین فاصله از نقطه ایدهآل می‌باشد. مقادیر متغیرهای تصمیم و توابع هدف در نقطه بهینه انتخابی در جدول ۳ نشان داده شده است.

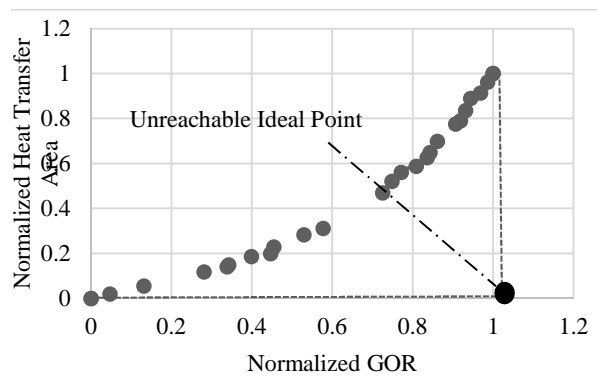
جدول ۳- مقادیر پارامترهای عملکردی در نقطه بهینه منتخب

متغیرها	مقادیر
دمای کمینه آب شور، ($^{\circ}C$)	۴۸,۳
دمای بیشینه آب شور، ($^{\circ}C$)	۶۰,۶
دمای بخار ورودی به زیر واحد اول، ($^{\circ}C$)	۷۰,۶
فشار بخار محرك، (kPa), P_m	۲۰۴۳,۸
دبی بخار محرك، (kg/s) . D_m	۶,۰۲
ضریب عملکرد، GOR	۷,۹
سطح انتقال حرارت کلی، m^2	۱۴۷۸۵,۲

تغییرات توابع هدف در جدول ۴ آورده شده است:

جدول ۴- تغییرات مقادیر توابع هدف پس از بهینه‌سازی

متغیرها	مقادیر اصلی	مقادیر پس از بهینه‌سازی	از مدل‌سازی اولیه
ضریب عملکرد، GOR,	۷,۹	۷/۸۳	۷/۸۳
سطح انتقال حرارت کلی، m^2	۱۴۷۸۵,۲	۱۵۰۱۴/۱۶	۱۴۷۸۵,۲



شکل ۴- نقاط بهینه در جبهه Pareto نومالیز شده

۴- جمع‌بندی و نتیجه‌گیری

در این مقاله سیستم آب‌شیرین کن قشم مورد بررسی و تحلیل قرار گرفته است. بر اساس تحلیل ترمومیکانیکی انجام شده، خواص در نقاط مختلف محاسبه شده است. مقایسه نتایج با داده‌های حقیقی نشان‌دهنده تطابق مناسبی بین داده‌ها می‌باشد. سپس دو تابع سطح حرارتی و ضریب عملکرد آب‌شیرین کن به عنوان توابع هدف بهینه‌سازی انتخاب شده و بهینه‌سازی بر اساس متغیرهای تصمیم انتخابی صورت گرفته است. نتایج حاصله از بهینه‌سازی دو هدفه بهبود مناسبی

- suction in MED-TVC Plants, *Desalination*, Vol. 280, pp.134-138, 2011.
- [7] Ameri M., Seif Mohammadi S., Hosseini M., Seifi M., Effect of design Parameters on Multi Effect Desalination System Specifications, *Desalination*, Vol. 245, pp. 266-283, 2009.
- [8] Sayyaadi H., Saffari A., Thermo Economic Optimization of Multi Effect Distillation Desalination Systems, *Applied Energy*, Vol. 87, pp. 1122-1133, 2010.
- [9] Sayyaadi H., Saffari A., Mahmoodian A., Various Approaches in Optimization of Multi Effect Distillation Systems Using a Hybrid Meta- Heuristic Optimization Tool, *Desalination*, Vol. 254, pp. 138-148, 2010.
- [10] Shakouri M., Ghadamian H., Sheiholeslami R., Optimal Model for Multi Effect Desalination System Integrated with Gas Turbine, *Desalination*, Vol. 260, pp. 254-263, 2010.
- [11] Muginstein A., Cohen Y., Levin L., Frant S., Production of Desalinated Water and Electricity in a Dual Purpose Plant Operating in a Dispatchable Electricity System: Techno-Economic Analysis, *Desalination*, Vol. 156, pp. 361-366, 2003.
- [12] Ettouney H.M., El-Dessouky H., *Fundamentals of Salt Water Desalination*, Kuwait University, Kuwait, 2002.
- [13] Al-Mutaz I.S., Wazeer I., Development of a steady-state mathematical model for MEE-TVC desalination plants, *Desalination*, Vol. 351, pp. 9-18, 2014.
- [14] Qeshm desalination Plant, Mapna Group, Tehran, 2011.